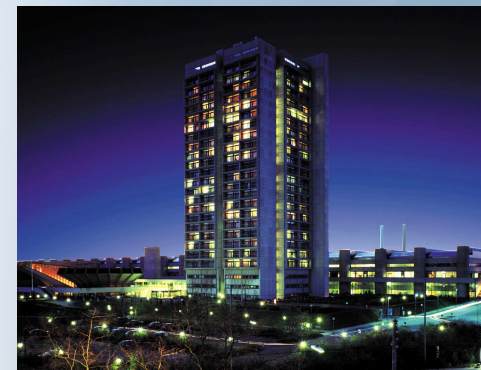


NON-kontrast MR-Angiografi

Yousef W. Nielsen
1.reservelæge, PhD
Radiologisk Afdeling X
Herlev Hospital

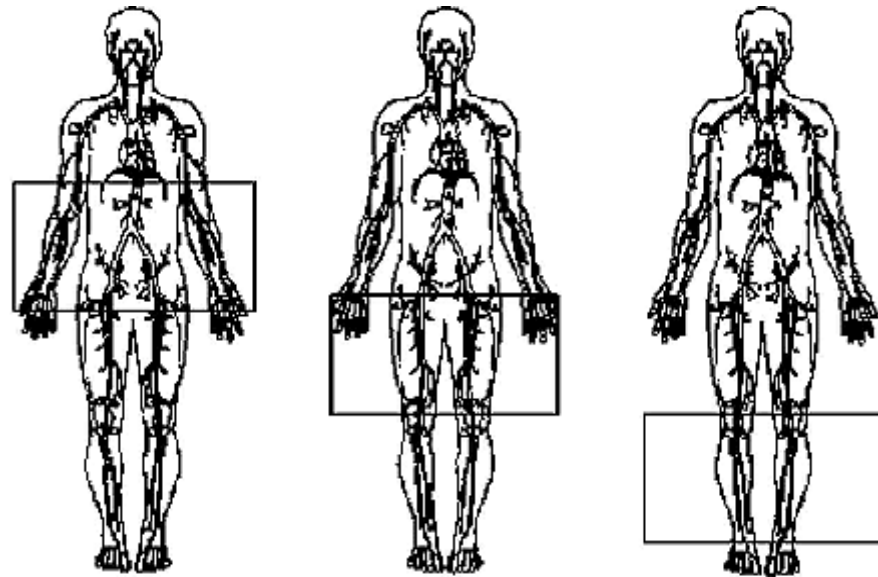


DFIR Årsmøde 2013
Korsør

CE-MRA

- Først beskrevet i 1994
- Robust metode
 - Perifer MRA Sens. 0.95 Spec. 0.96 (Ann Intern Med 2010;153:325-34)
 - Nyre-arterier Sens. 0.97 Spec. 0.93 (Clin Radiol 2002;57:617-24)
 - Carotis MRA Sens. 0.94 Spec. 0.93 (Eur Radiol 2009;19:2204-16)
- Teknologisk udvikling over de seneste 20 år
 - Gradienter
 - Parallel billedannelse
 - Høj-felt MR-skannere

CE-MRA

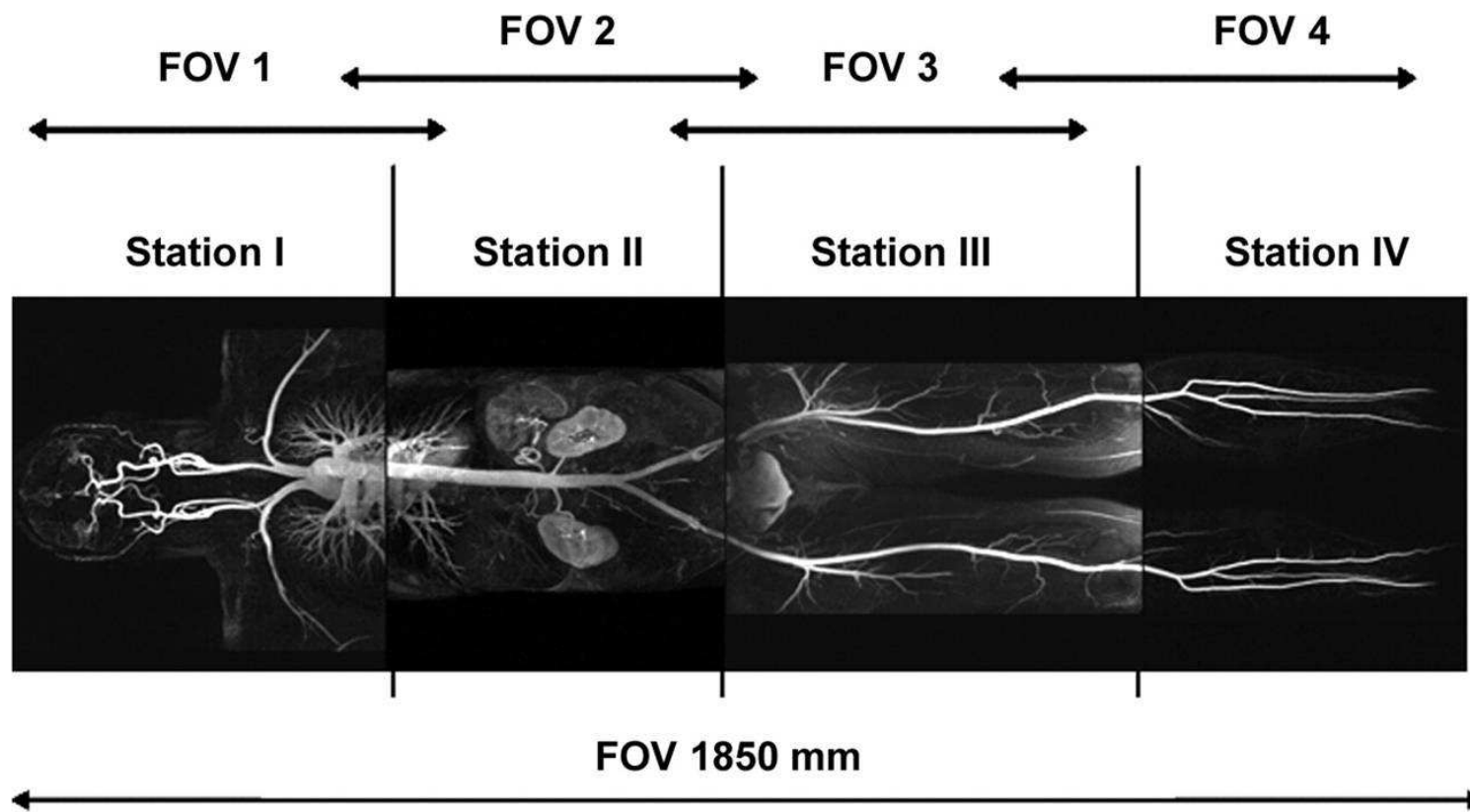


Station 1

Station 2

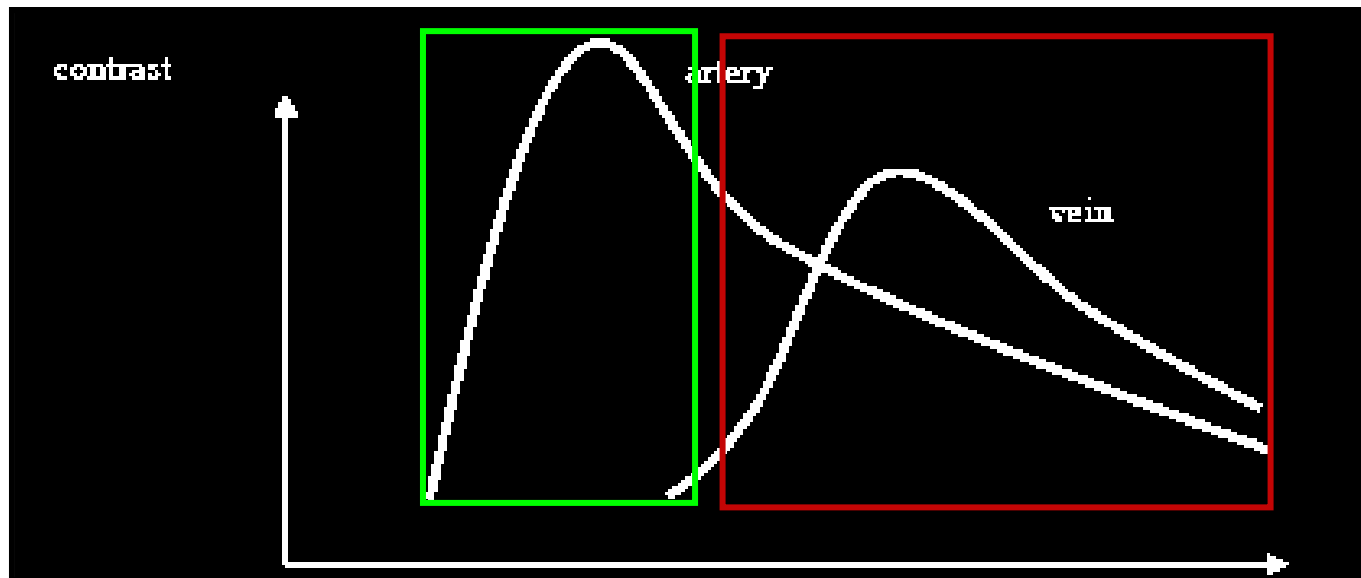
Station 3

CE-MRA



CE-MRA

Scanning i arteriel fase



CE-MRA

Kontrast til MRA

Typisk dosis: 0.1 mmol/kg (single dose)

Tidligere: 0.2-0.3 mmol/kg (double- og triple dose)

Risiko for Nefrogen Systemisk Fibrose

Mindst stabile Gd-baserede MR-kontraststoffer

(Omniscan, Magnevist, Optimark)

Nedsat nyrefunktion

Non-kontrast MRA

Fordele

Ingen brug for kontrast
Nyrefunktion
Multiple scanninger
(Økonomi)

Ulemper

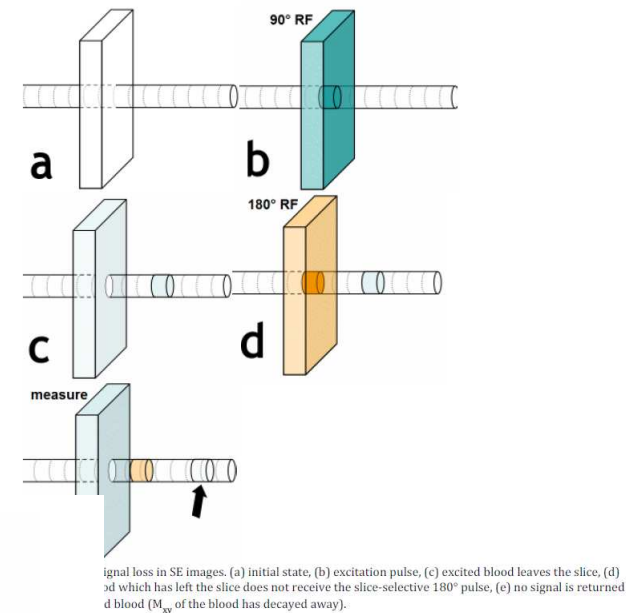
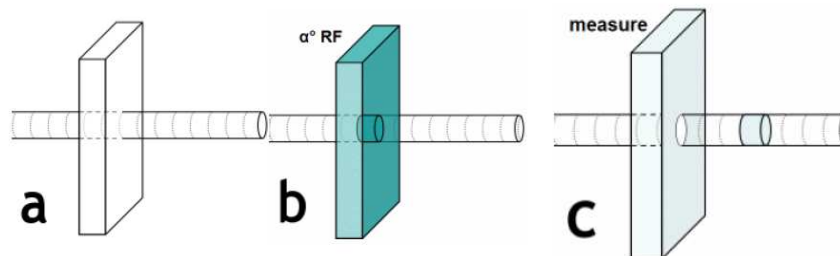
Teknisk udfordrende
Forskellige teknikker nødvendige
Problematisk ved arrytmier

Non-kontrast MRA

Signalet afhænger af MR-sekvens

Spin echo (SE): Lavt signal (flow void)

Gradient echo (GRE) Højt signal



Non-kontrast MRA-teknikker

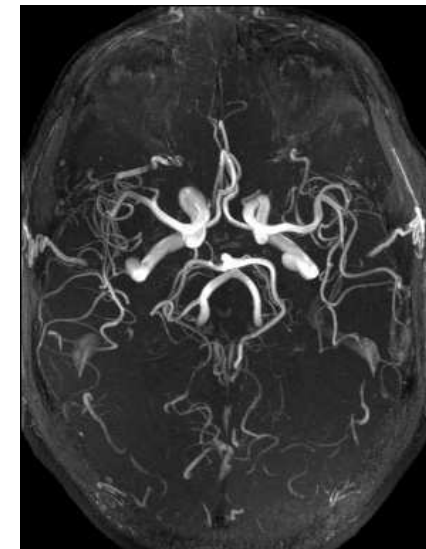
Nyere

- Subtraktion
- bSSFP-baseret MRA



Konventionelle

- TOF
- Phase-contrast



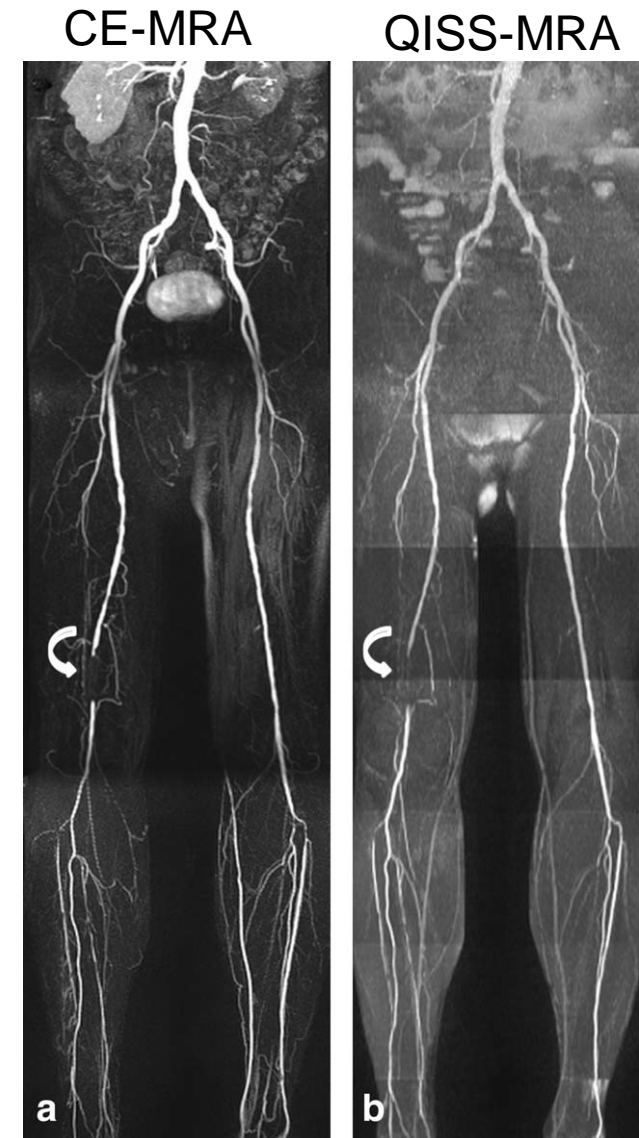
Non-kontrast MRA-teknikker

Subtraktion

- EKG-gated FSE-MRA

bSSFP

- Tagging-teknik
- QISS
- Coronar MRA



EKG-gated FSE MRA

Princip

Subtraktions-teknik

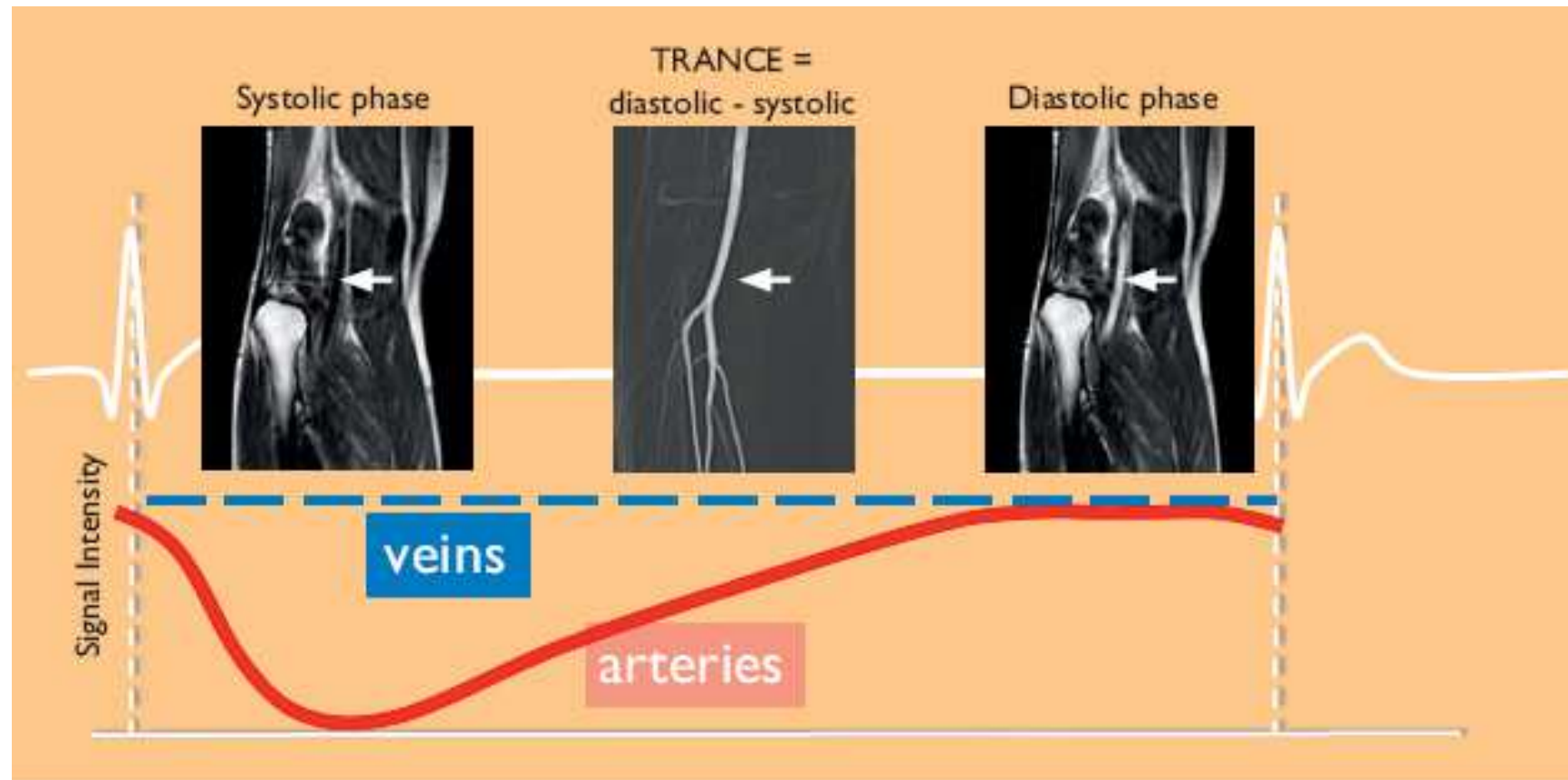
Udnytter forskellen mellem signal i diastole og systole

Kan både udføres som 2D og 3D teknik

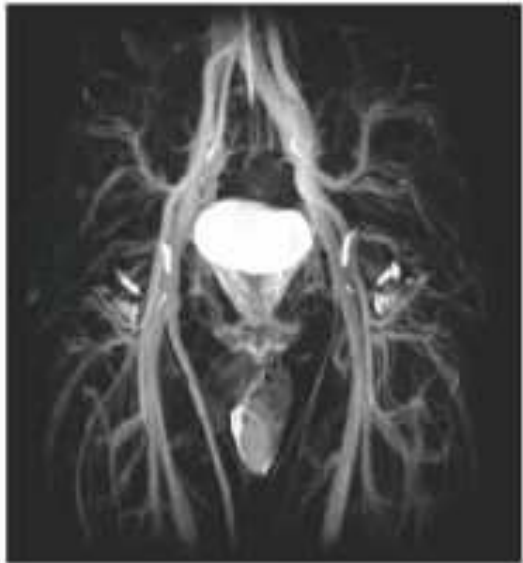
Kræver EKG- eller perifer puls gating

Metoden er tilgængelig til klinisk brug
(TRANCE, native SPACE, FBI, 3D delta flow)

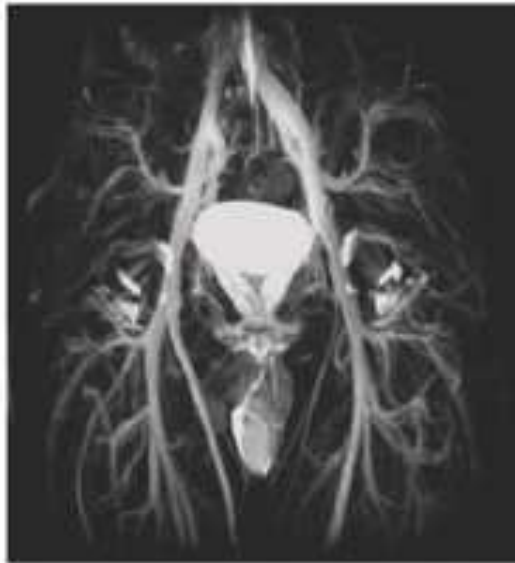
EKG-gated FSE MRA



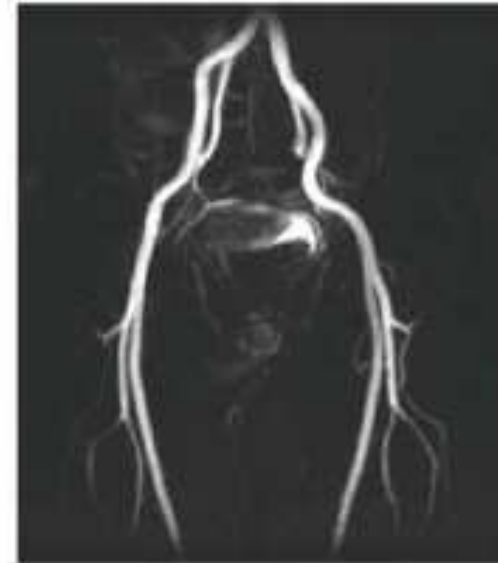
EKG-gated FSE MRA



Diastole (A+V)



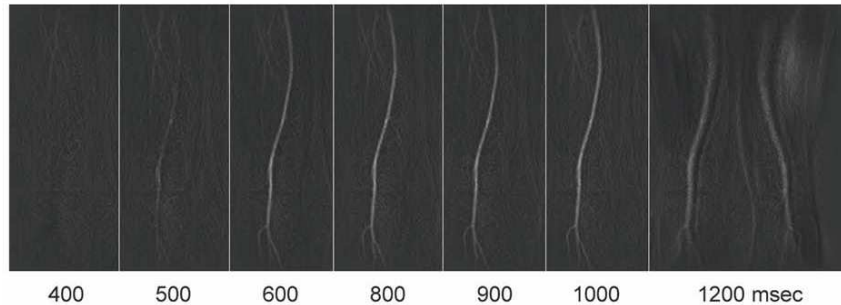
Systole (V)



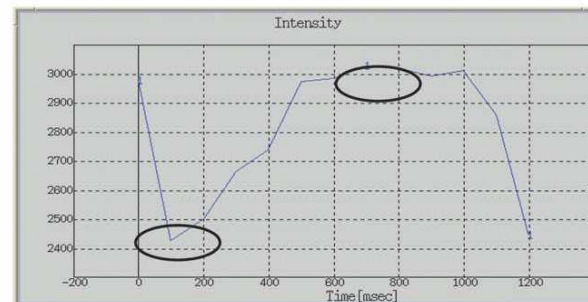
Subtraktion MIP
(A+V)-V=A

EKG-gated FSE MRA

Trigger delays



Subtraheerde
EKG-prep billeder



Systole

Diastole

EKG-gated FSE MRA

Trigger delays



EKG-gated FSE MRA

Applikationer

- Perifer MRA
- Thoraco-abdominal MRA
- MR Venografi

EKG-gated FSE MRA

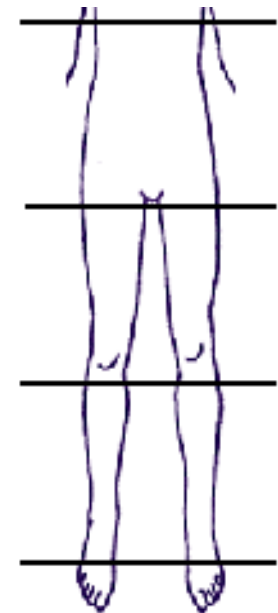
Perifer MRA

Skantid 10-12 minutter (3 stationer)

Anvendelse af specielle flow spoiler gradienter

Fremmer forskellen mellem diastole og systole
Hurtigere defasing → accentureret flow void i systole

Fat-sat (STIR)



EKG-gated FSE MRA

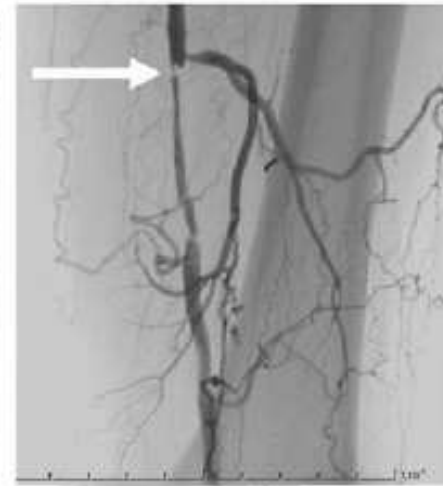
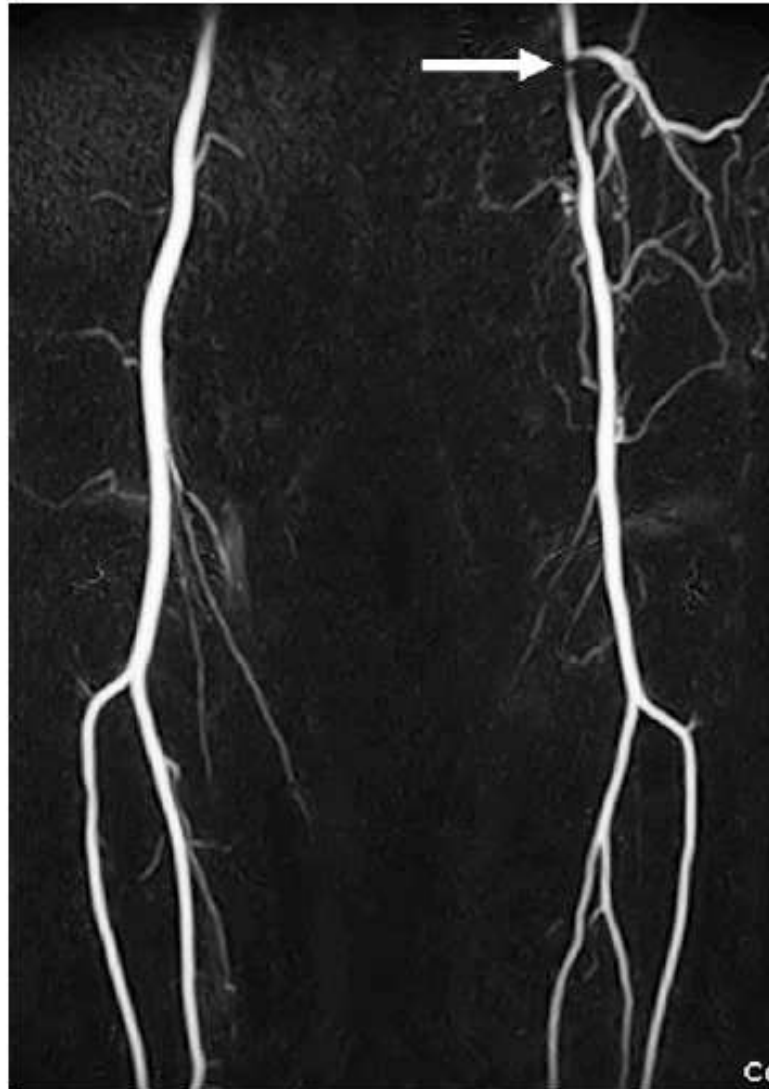
Non-kontrast



CTA



EKG-gated FSE MRA



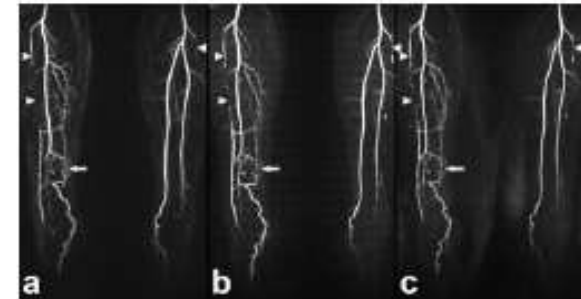
EKG-gated FSE MRA

JOURNAL OF MAGNETIC RESONANCE IMAGING 28:181-189 (2008)

Original Research

3D Nongadolinium-Enhanced ECG-Gated MRA of the Distal Lower Extremities: Preliminary Clinical Experience

Ruth P. Lim, MBBS, MMed, FRANZCR,^{1*} Elizabeth M. Hecht, MD,¹ Jian Xu, BS,²
James S. Babb, PhD,¹ Niels Oesingmann, PhD,² Samson Wong, MD,¹
Bart E. Muhs, MD, PhD,³ Paul Gagne, MD,³ and Vivian S. Lee, MD, PhD, MBA¹



36 patienter

24 claudicatio, 7 kritisk iskæmi, 2 distal emboli, 4 andet

Reference metode: CE-MRA (inkl. time-resolved)

Resultater

Sens. 0.85 Spec. 0.76 Interobservatør Kappa 0.70

Betydende artefakter hos 17/36 patienter

EKG-gated FSE MRA

Eur Radiol (2011) 21:1979–1987
DOI 10.1007/s00330-011-2132-4

MAGNETIC RESONANCE

ECG-Triggered Non-Contrast-Enhanced MR Angiography (TRANCE) versus Digital Subtraction Angiography (DSA) in patients with peripheral arterial occlusive disease of the lower extremities

Andreas Gutzeit · Reto Sutter · Johannes M. Froehlich · Justus E. Roos ·
Thomas Sautter · Erik Schoch · Barbara Giger · Michael Wyss · Nicole Graf ·
Constantin von Weymarn · Regula Jenelten · Christoph A. Binkert · Klaus Hergan

43 patienter (Fontaine IIa 21, IIb 21, IV 1)

Reference metode: DSA

Resultater

Sens. 0.86 Spec. 0.96

Non-diagnostiske segmenter: 1% femur, 10% crus, 30% fod

EKG-gated FSE MRA

Eur Radiol (2011) 21:1452–1461
DOI 10.1007/s00330-011-2063-0

MAGNETIC RESONANCE

Magnetic resonance angiography (MRA) of the calf station at 3.0 T: intraindividual comparison of non-enhanced ECG-gated flow-dependent MRA, continuous table movement MRA and time-resolved MRA

Stefan Haneder · Ulrike L. Attenberger · Philipp Riffel ·
Thomas Henzler · Stefan O. Schoenberg ·
Henrik J. Michaely

37 patienter med PAD (Fontaine II-IV)

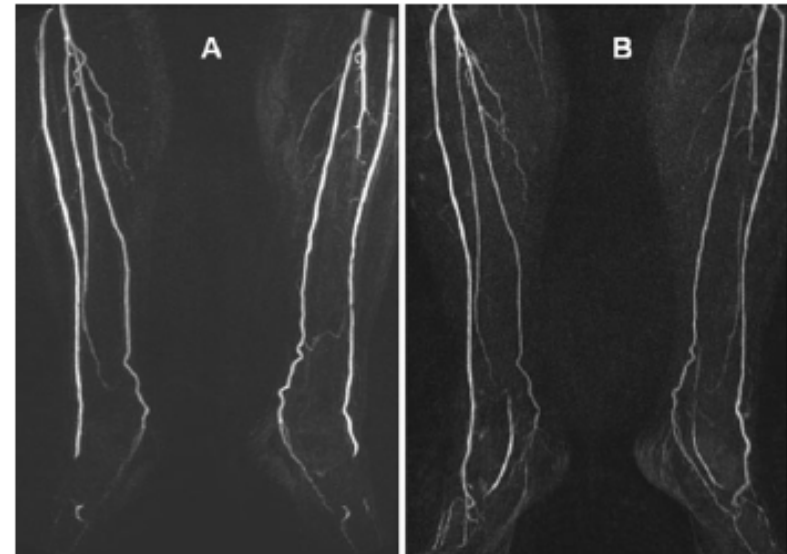
Referencemetode

CE-MRA (inkl. time-resolved)

Resultater

Sens. 1.00 Spec. 0.79

Betydende artefakter 19/37



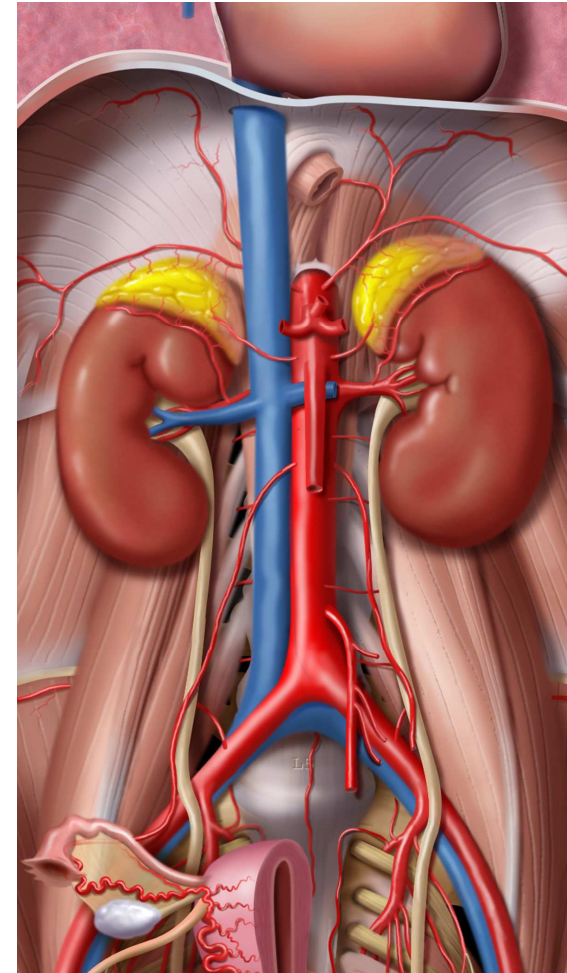
EKG-gated FSE MRA

Thoraco-abdominal MRA

Subtraktion ikke nødvendig

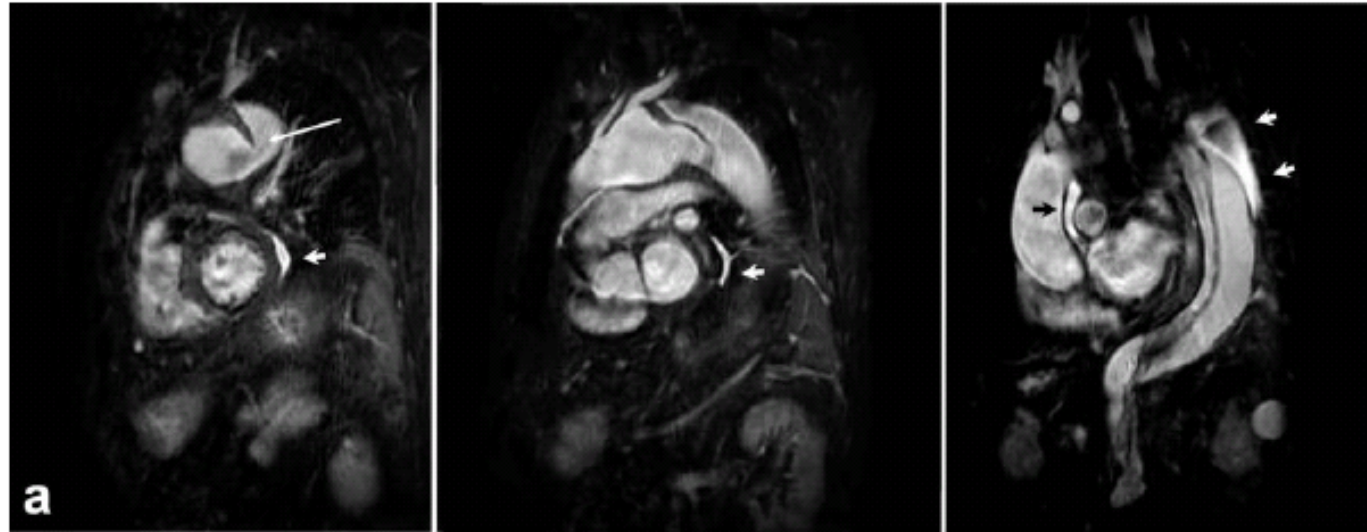
Spin-ekko sekvens er fordelagtig i thorax

Ikke så vel-undersøgt som perifer MRA

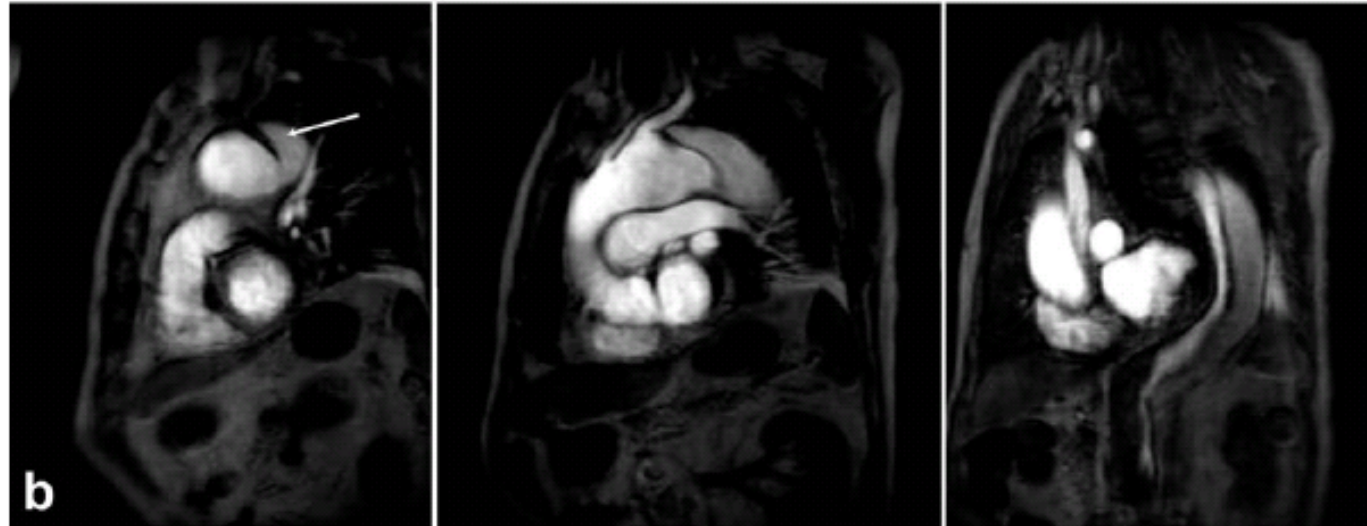


EKG-gated FSE MRA

Non-contrast

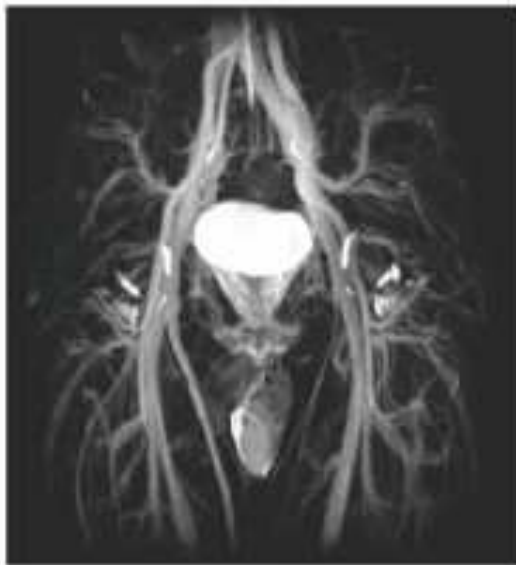


CE-MRA

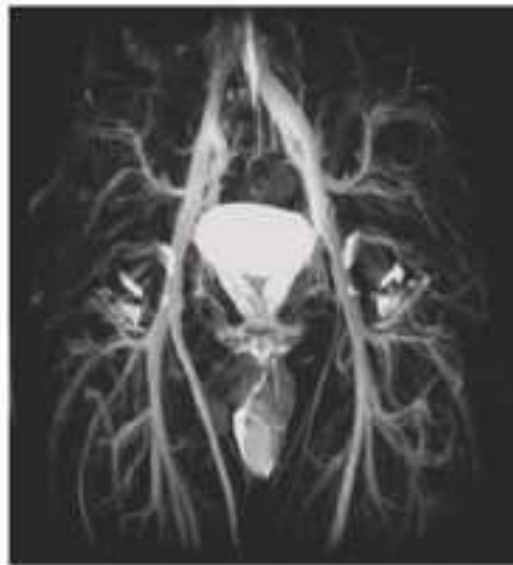


EKG-gated FSE MRA

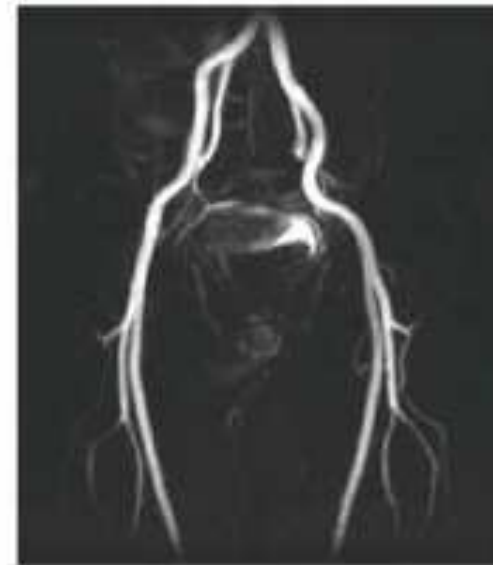
MR-venografi



Diastole (A+V)



Systole (V)



Subtraktion MIP (A)

Diastole (A+V) – subtraktions MIP (A) → MR-venogram

EKG-gated FSE MRA

Fordele

- Robust
- Non-kontrast
- Spin-ekko påvirkes ikke af inhomogenitet i magnetfeltet

Ulemper

- Arrytmier kan forstyrre EKG-synkronisering
- Relativ langsom metode
- Subtraktion følsom for bevægeartefakter
- Nøjagtig indstilling af trigger delays er påkrævet
- Overestimering af stenoser

- Ikke mange studier af patienter med kritisk iskæmi

Non-kontrast MRA-teknikker

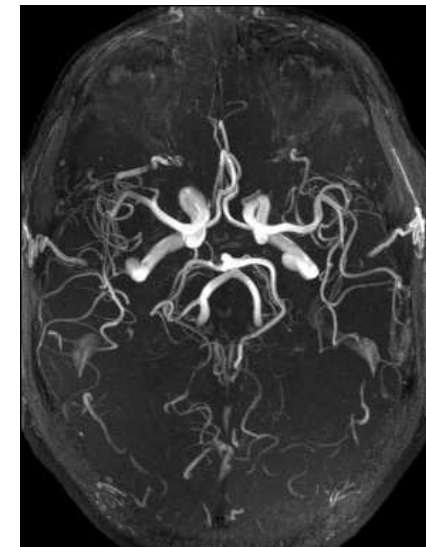
Nyere

- Subtraktion
- bSSFP-baseret MRA



Konventionelle

- TOF
- Phase-contrast

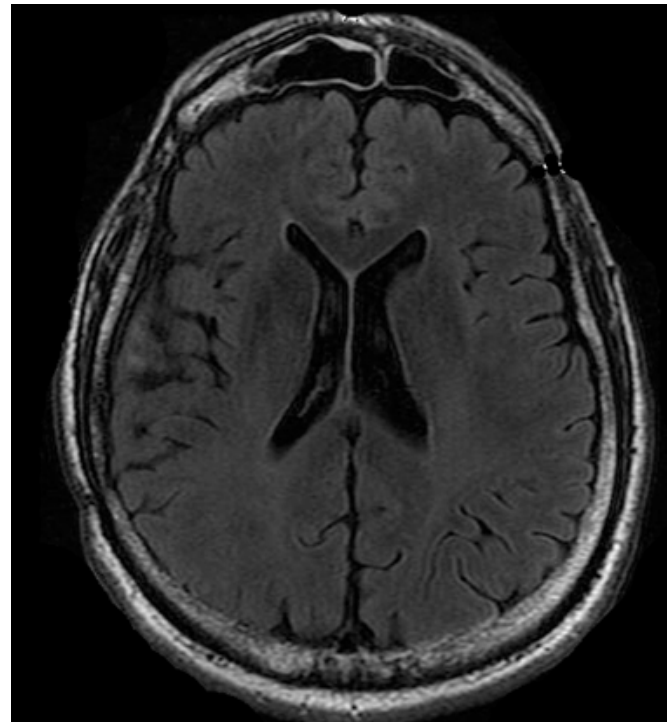


bSSFP-baseret MRA

- Gradient echo MR sekvens
- T2/T1 kontrast
- Ulempe ved metoden: Højt signal fra arterier, vener og baggrund
- Modvirkes ved brug af inversions-pulse

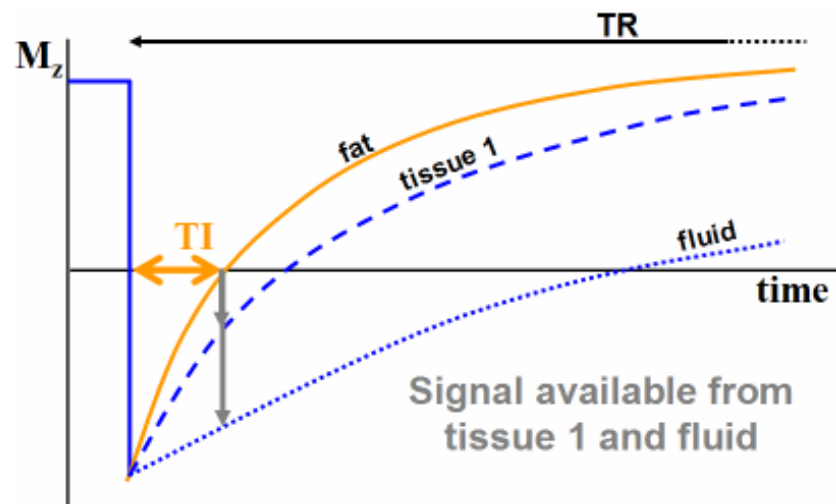
Inversions-puls

- Meget udbredt MR-teknik til suppression af signal fra forskellige væv
- Eksempler: STIR (fat-sat) FLAIR (suppression af vand)

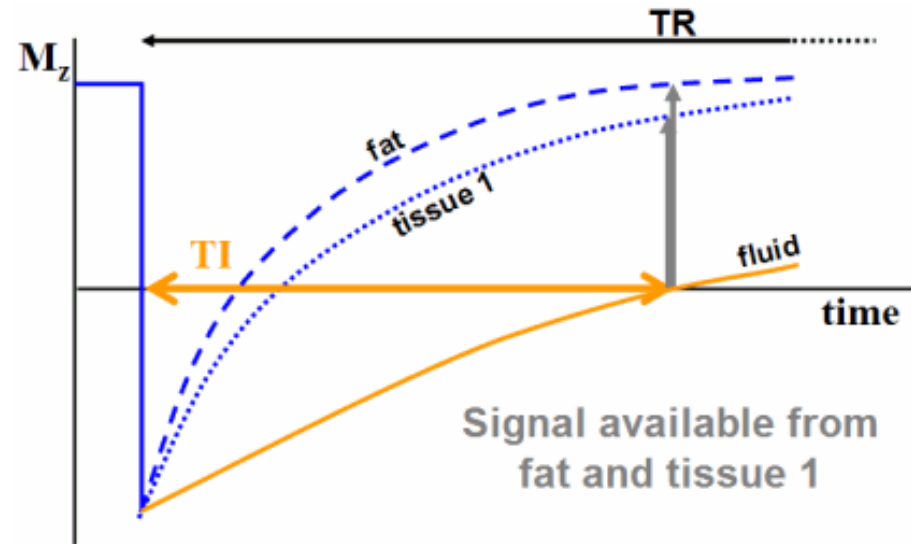


Inversions-puls

STIR – fedt satureres

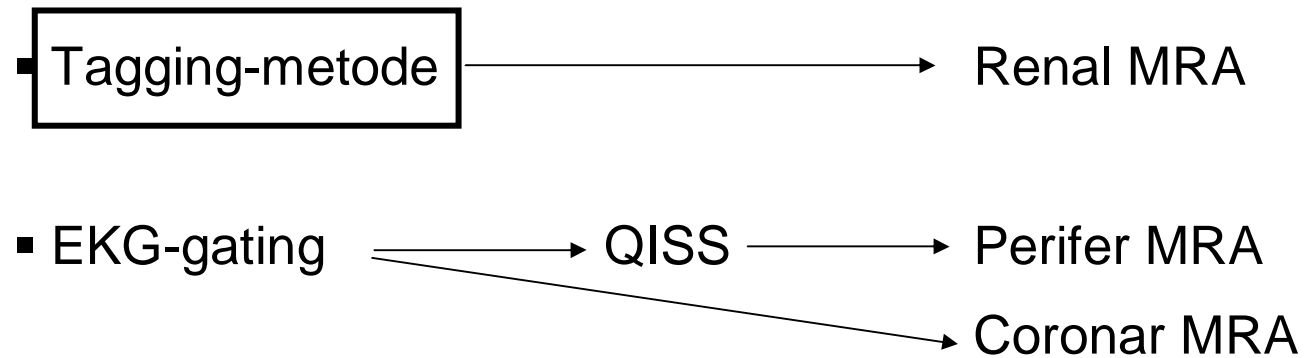


FLAIR – vand satureres



bSSFP-baseret MRA

Applikationer



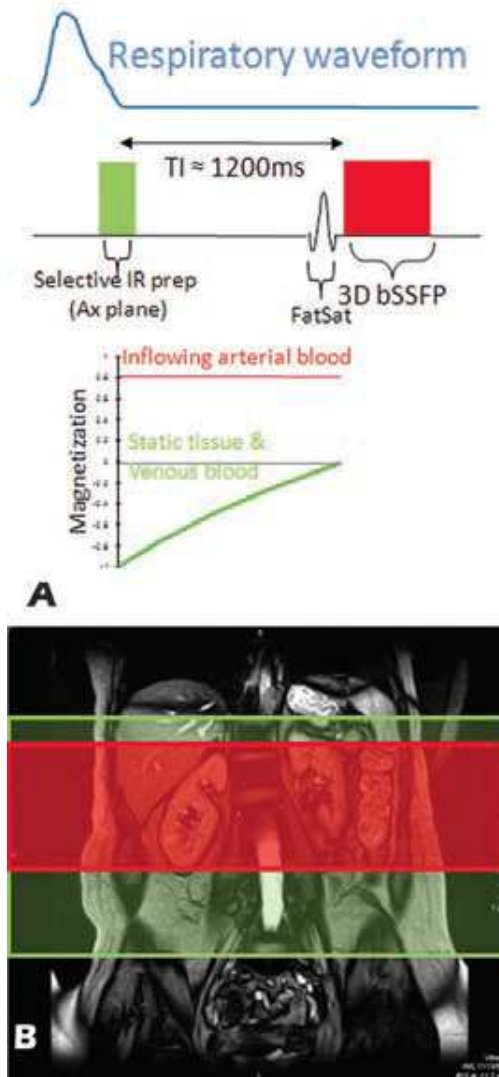
Tagging MRA

Princip

1. Inversions-puls
2. TI-periode (ca. 1200 ms for renal MRA)
3. Fat-sat
4. Scanning med bSSFP-sekvens

Anvender respirations-synkronisering

Scantid for renal MRA 2-4 min.



Tagging MRA

Renal Artery Assessment with Nonenhanced Steady-State Free Precession versus Contrast-enhanced MR Angiography¹

Radiology



Radiology 2007;245:186-95

53 patienter (hypertension, mistanke om RAS)

Reference-metode

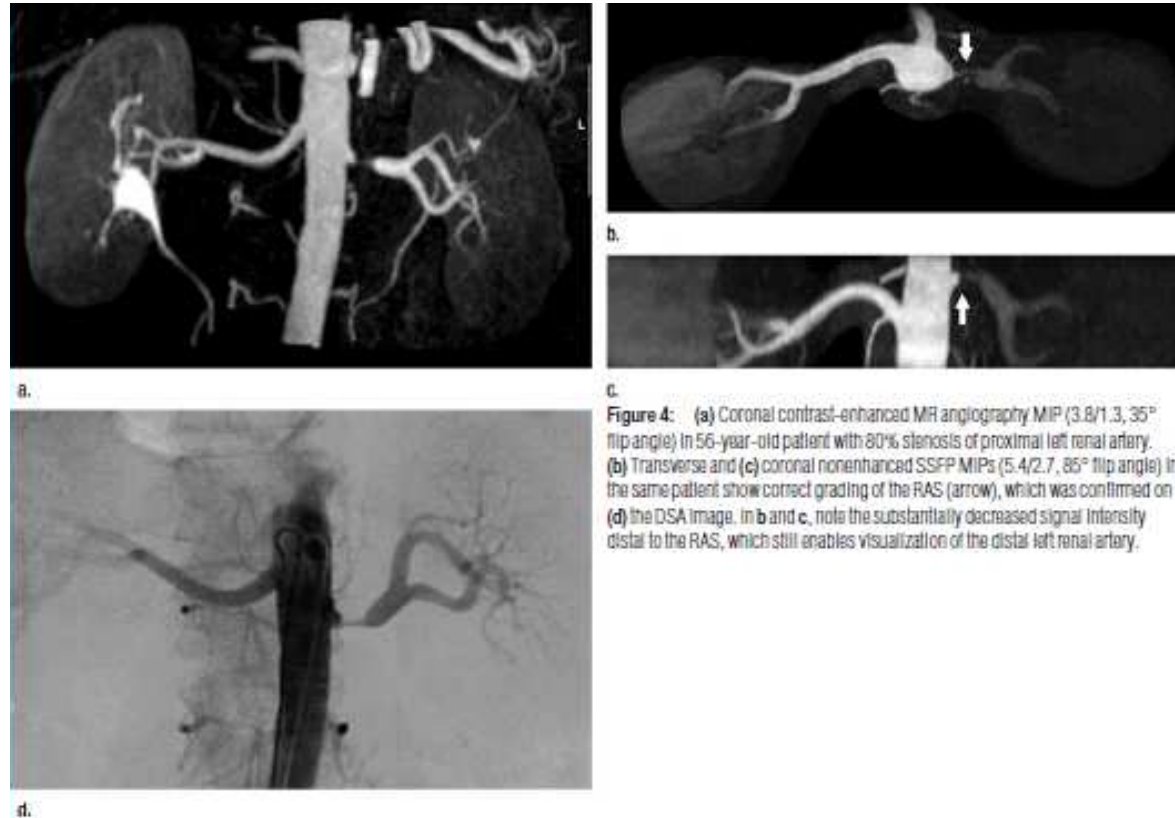
CE-MRA

Resultater

Sens. 0.95-1.00

Spec. 0.93-0.95

Tagging MRA



Radiology 2007;245:186-95

Tagging MRA

Renal Artery Stenosis Evaluation in Chronic Kidney Disease

Patients: Nonenhanced Time-Spatial
Labeling Inversion-Pulse Three-
dimensional MR Angiography with
Regulated Breathing versus DSA¹

Radiology

Radiology 2011;259:592:601

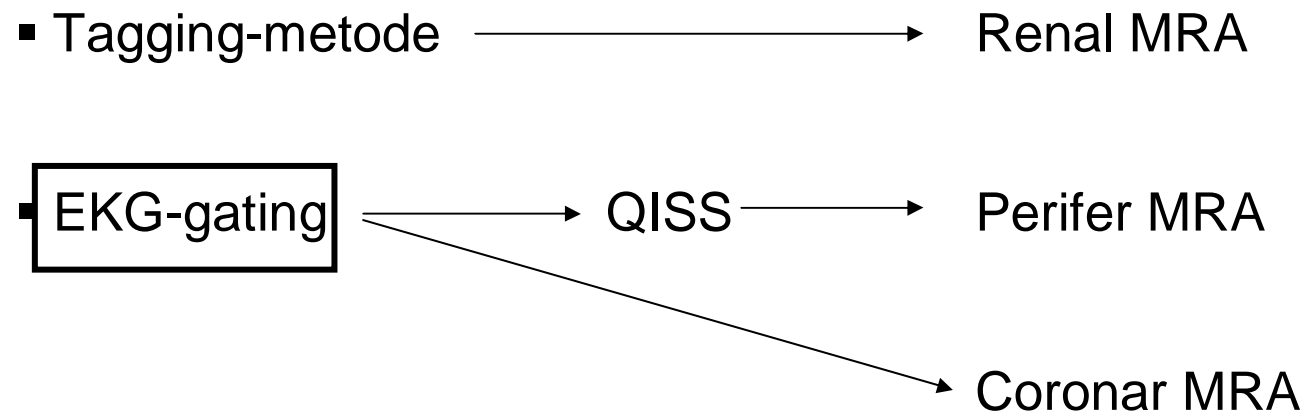
23 patienter (kendt RAS, planlagt DSA)

Sens. 0.93 Spec. 0.88

Diagnostisk kvalitet hos alle 23 patienter

bSSFP-baseret MRA

Applikationer



QISS-MRA

- Nyere non-kontrast MRA-teknik
- Inflow-baseret
- EKG-gated
- Kun tilgængeligt hos Siemens

QISS-MRA

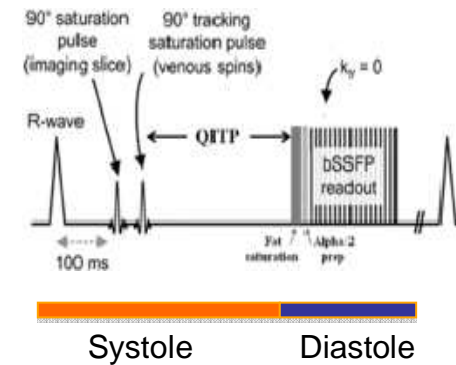
Princip

Fjern baggrundssignal (saturation)

Fjern venesignal (saturation)

QI-periode – arterielt inflow

Scanning i diastole



Original Research

Comparison of Quiescent Inflow Single-Shot and Native Space for Nonenhanced Peripheral MR Angiography

Emily V. Ward, MBChBAO,^{1,2} Mauricio S. Galizia, MD,^{1,2} Asad Usman, MD,²
Andrada R. Popescu, MD,² Eugene Dunkle, RT (R) (MR),¹ and Robert R. Edelman, MD^{1*}

20 patienter (symptomgivende PAOD/abnormt ABI)

Referencemetode

CE-MRA (inkl. time-resolved)

Resultater

QISS:	Sens. 0.85	Spec. 0.96
FSE-MRA:	Sens. 0.87	Spec. 0.87

Non-diagnostiske segmenter:

QISS 0%
FSE-MRA 5%

QISS-MRA



Nonenhanced ECG-gated quiescent-interval single-shot MRA (QISS-MRA) of the lower extremities: Comparison with contrast-enhanced MRA

J. Klasen^a, D. Blondin^{a,*}, P. Schmitt^b, X. Bi^c, R. Sansone^d, H.-J. Wittsack^a, P. Kröpil^a, M. Quentin^a, J. Kuhlemann^a, F. Miese^a, C. Heiss^d, M. Kelm^d, G. Antoch^a, R.S. Lanzman^a

27 patienter (PAOD)

Reference metode

CE-MRA

Resultater

Sens. 0.99 Spec. 0.96

Betydende artefakter i 2% af vurderede arterielle segmenter



CE-MRA

QISS-MRA

QISS-MRA

AJR
JOURNAL CLUB

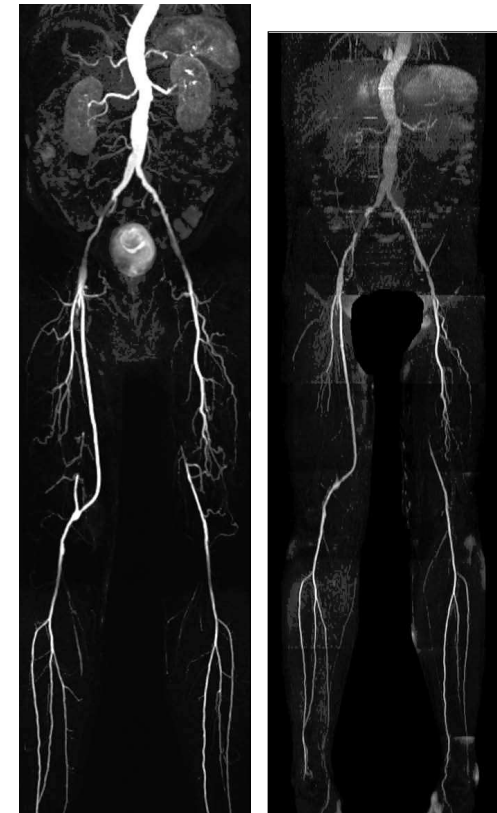
Peripheral Arterial Disease in a Symptomatic Diabetic Population: Prospective Comparison of Rapid Unenhanced MR Angiography (MRA) With Contrast-Enhanced MRA

AJR 2011;197:1466-1473

25 patienter (PAOD)

Reference metode
CE-MRA

Resultater
Sens. 0.87 Spec. 0.97



CE-MRA

QISS-MRA

Coronar MRA

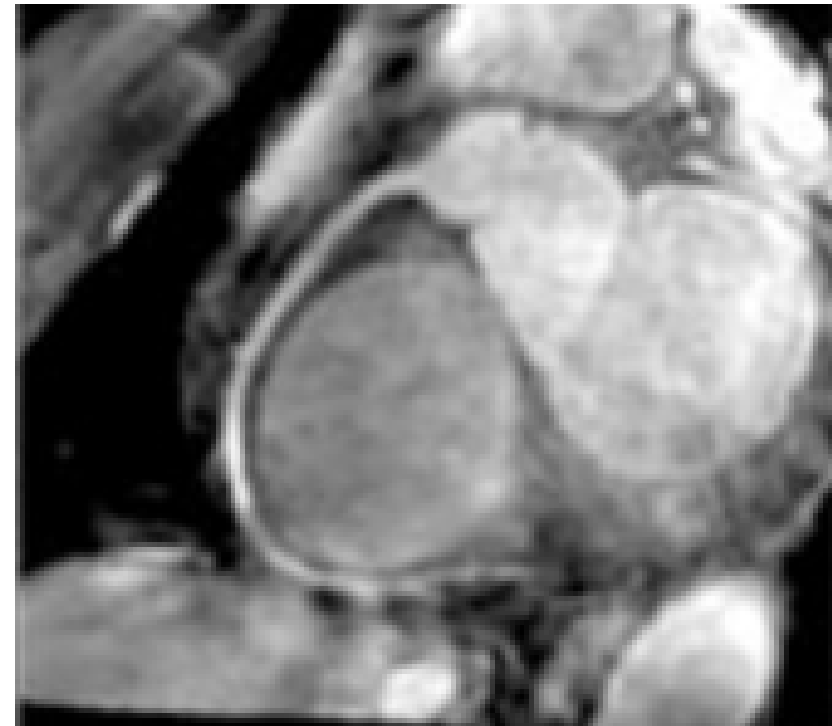
Teknisk muligt

SSFP-sekvenser
CE-MRA

Respiratorisk gating
EKG gating

Ikke så robust metode som CTA

Pædiatriske undersøgelser



Højre coronar-arterie fremstillet ved non-kontrast MRA (bSSFP)

Non-kontrast MRA-teknikker

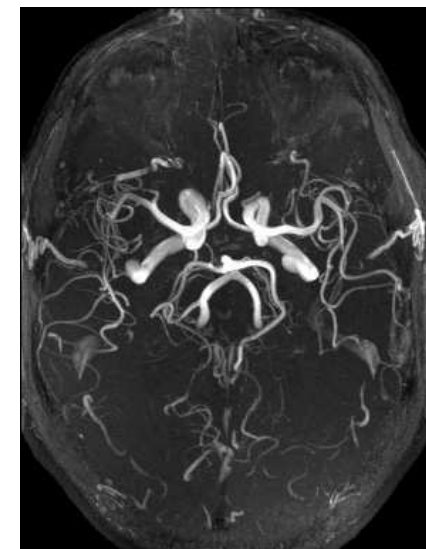
Nyere

- Subtraktion
- bSSP-baseret MRA

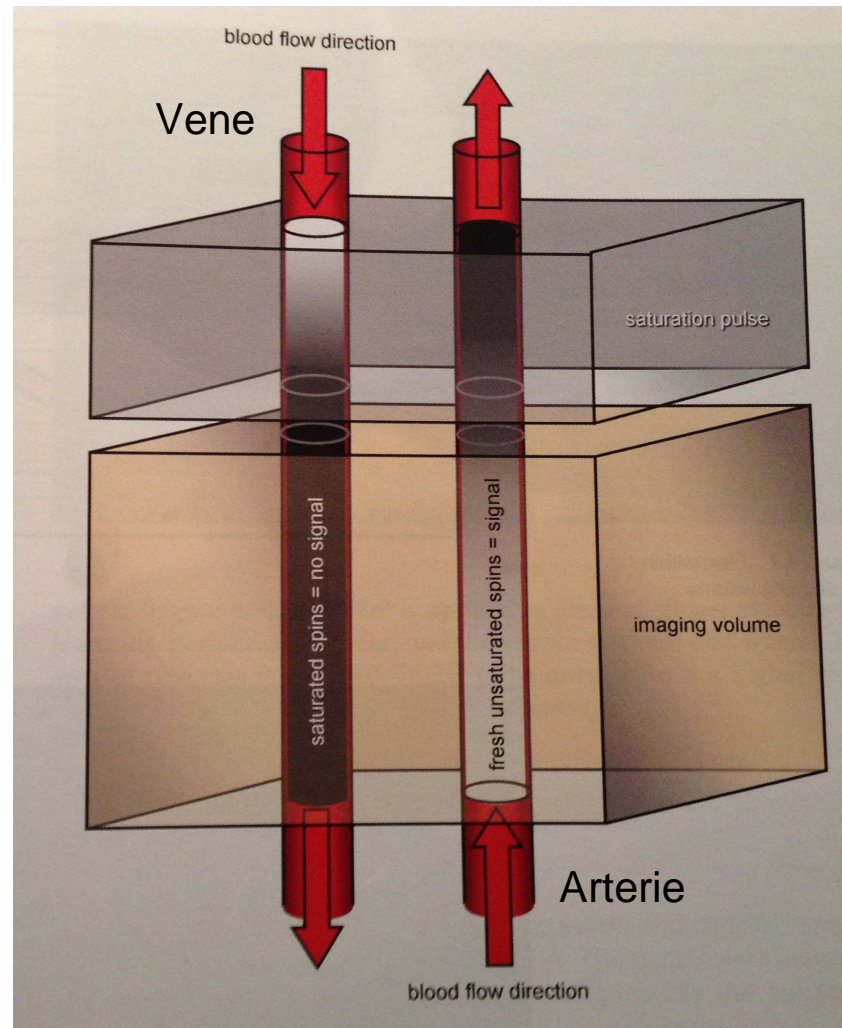


Konventionelle

- TOF
- Phase-contrast

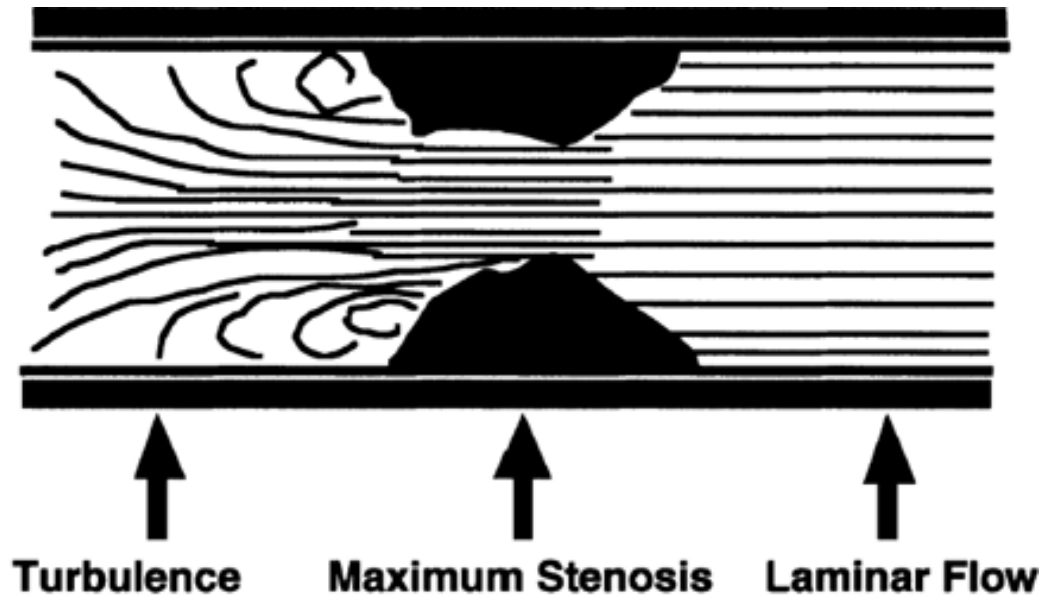


TOF-MRA



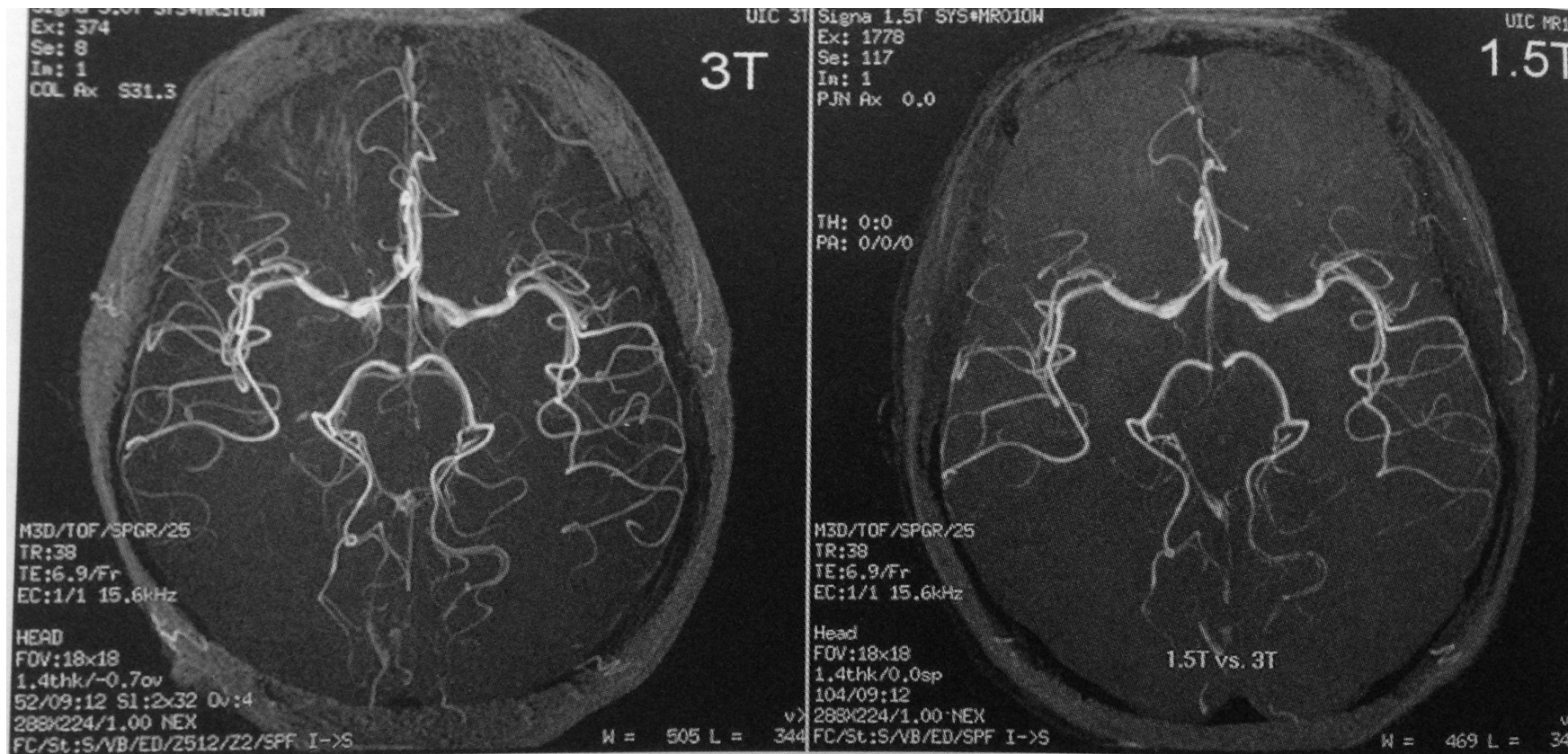
TOF-MRA

Over-estimating of stenosis



TOF-MRA

Intrakraniell 3D TOF-MRA er hyppigste anvendte MRA-teknik



Non-kontrast MRA-teknikker

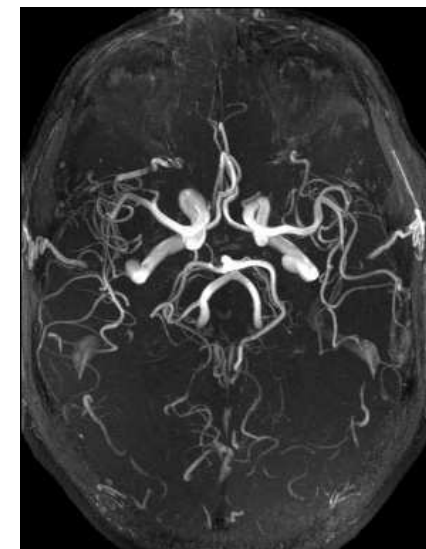
Nyere

- Subtraktion
- bSSP-baseret MRA



Konventionelle

- TOF
- Phase-contrast

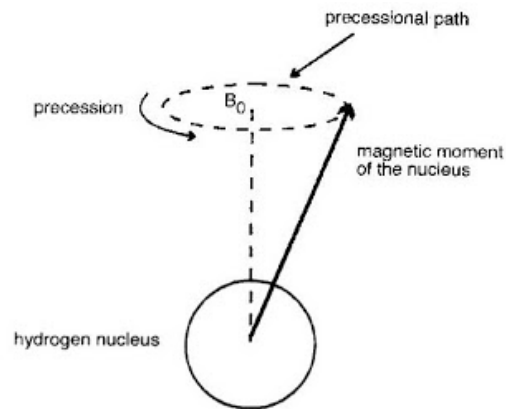


Phase-contrast MRA

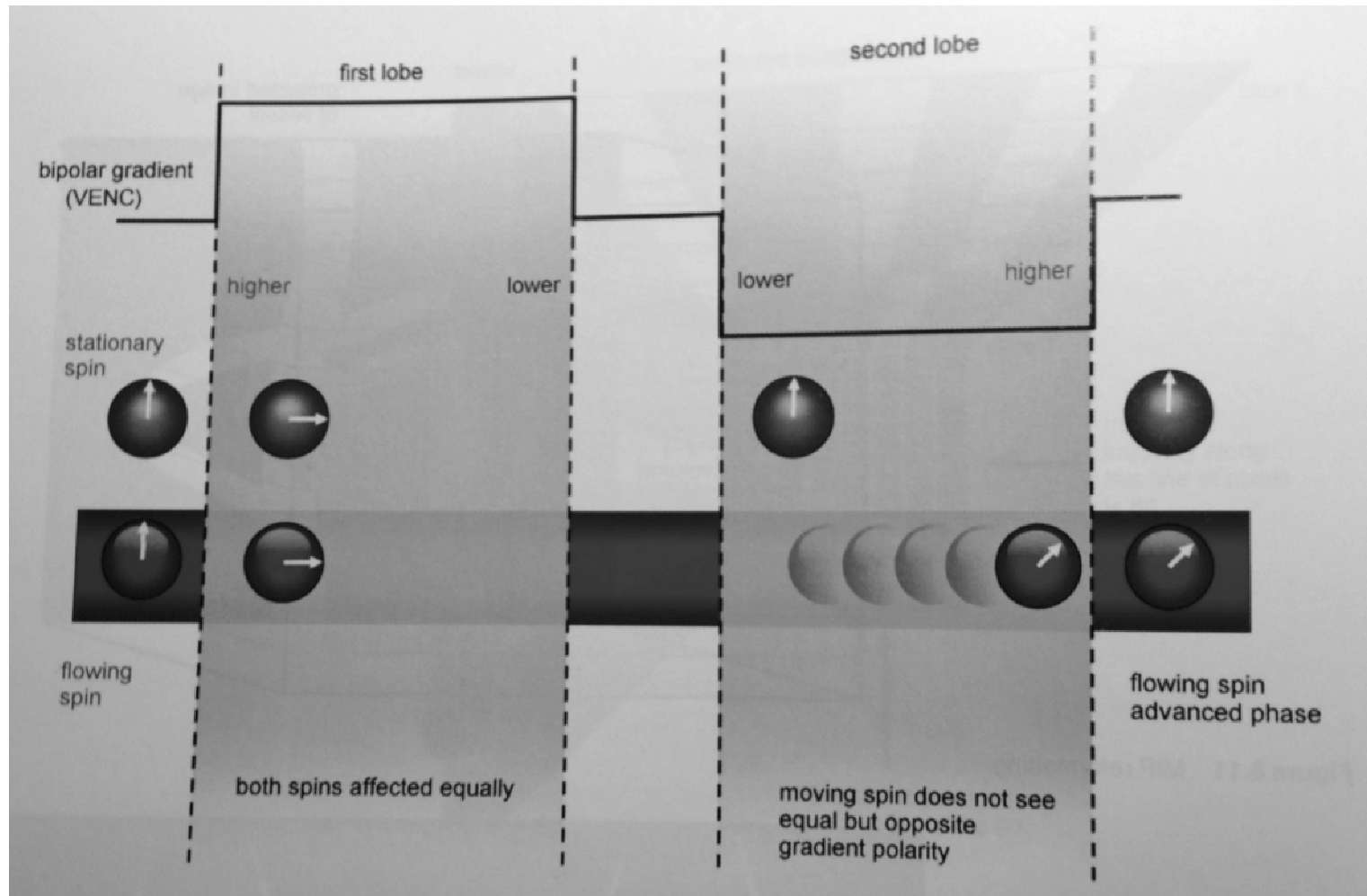
Princip

Fase-skift i protoner induceres med gradient

Bipolar gradient → stationære protoner ændrer ikke fase
→ protoner i kar ændrer fase pga. flow



Phase-contrast MRA



Phase-contrast MRA

Flow-hastighedsmålinger

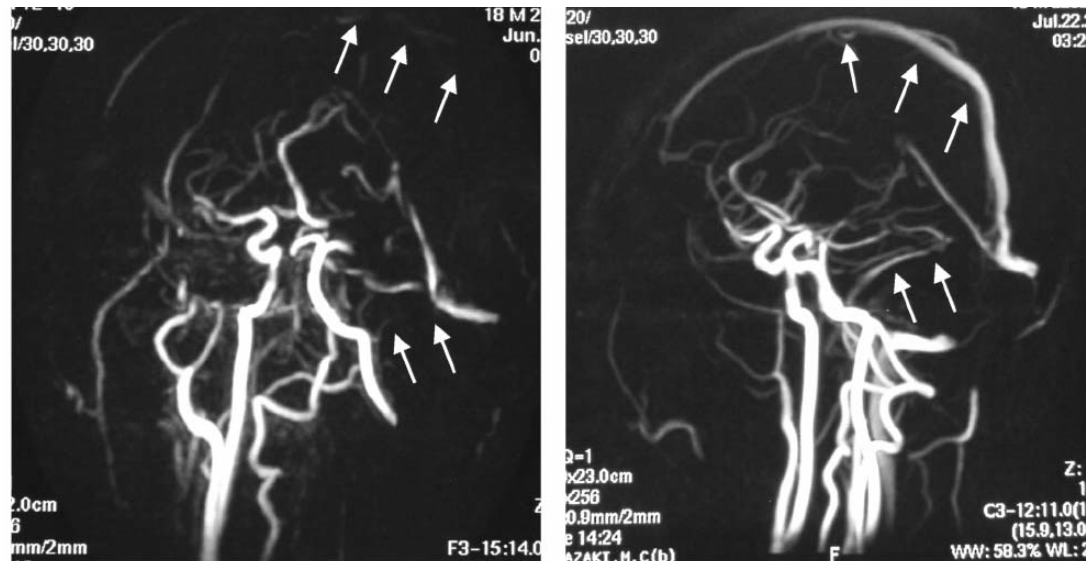
Fase-skiftet proportional med flow-hastighed

Phase-contrast MRA

Lang scantid

Bevægeartefakter

Få kliniske anvendelser



Internal Medicine 2004;43:400-403

Non-contrast MRA

	EKG-gated FSE MRA	Tagging MRA	QISS
Philips	TRANCE	bTRANCE	n/a
Siemens	Native SPACE	Native trueFISP	QISS
Toshiba	FBI	time-SLIP	n/a
GE	3D delta Flow	Inflow-IR	n/a

Opsummering

Non-kontrast MRA

- Mange nye metoder under udvikling
- Betydelig forskningsaktivitet
- Teknisk krævende undersøgelser – optimering nødvendig
- Få studier hos patienter med kritisk iskæmi
- TOF-MRA er den hyppigst anvendte MRA-teknik
- Phase-contrast MRA – effektiv til flowmålinger